



بررسی اثر همافزایی نانو اکسیدگرافن کاهش‌یافته و نanolوله کربنی چندجداره بر روی خواص مکانیکی نانوکامپوزیت اپوکسی

محمدامین بهرامی^{*}، محمود حشمتوی^۲، سعید فعلی^۲

۱- دپارتمان مهندسی مکانیک، دانشکده شماره ۲، دانشگاه فنی و حرفه‌ای استان کرمانشاه، کرمانشاه، ایران

۲- گروه مهندسی مکانیک، دانشگاه صنعتی کرمانشاه، کرمانشاه، ایران

تاریخچه داوری:

دریافت: ۱۳۹۹/۰۵/۰۶

بازنگری: ۱۳۹۹/۰۸/۱۰

پذیرش: ۱۳۹۹/۰۸/۲۴

ارائه آنلاین: ۱۳۹۹/۰۸/۲۸

کلمات کلیدی:

نانوکامپوزیت

نانو اکسیدگرافن کاهش‌یافته

نانولوله کربنی چندجداره

اثر همافزایی

خواص مکانیکی

خلاصه: در این تحقیق، اثر همافزایی دو نانوذره اکسیدگرافن کاهش‌یافته و نanolوله کربنی چندجداره بر روی خواص مکانیکی نانوکامپوزیت اپوکسی بررسی و مطالعه شده است. در گام نخست، نانوکامپوزیت اپوکسی/نانولوله کربنی چندجداره با درصدهای وزنی نanolوله کربنی ۰/۰۲، ۰/۰۴، ۰/۰۶، ۰/۰۸ و ۰/۱۰ با روش مخلوط‌سازی مستقیم ساخته شده و با آزمون کشش، خواص مکانیکی بدست آمده است. نتایج برای ۰/۰ درصد باعث بهبود مدول یانگ، تنش نهایی و تنش تسلیم به ترتیب ۷/۳۵، ۷/۲۱ و ۷/۱۲ درصد شده است. در گام دوم، نانوکامپوزیت اپوکسی/نانولوله اکسیدگرافن کاهش‌یافته با ۰/۰۲، ۰/۰۶، ۰/۰۸ و ۰/۱ درصد ساخته شده است. نتایج برای ۰/۶ درصد، باعث بهبود مدول یانگ، تنش نهایی و تنش تسلیم به ترتیب ۶/۳۷، ۱/۱۸ و ۱/۱۴ درصد شده است. در گام سوم، اثر درصدهای مختلف نانو اکسیدگرافن کاهش‌یافته بر روی خواص نانوکامپوزیت با ۰/۰ درصد نanolوله کربنی چندجداره بررسی شد که افزایش مدول یانگ، تنش نهایی و تنش تسلیم برای نانوکامپوزیت با ۰/۰ درصد نanolوله کربنی چندجداره و ۰/۰ درصد نanolوله کربنی چندجداره باعث بهبود مدول یانگ، تنش نهایی و تنش تسلیم به ترتیب ۰/۰۶ و ۰/۰۴ درصد نanolوله کربنی چندجداره و ۰/۰ درصد نانو اکسیدگرافن کاهش‌یافته باعث بهبود مدول یانگ، تنش نهایی و تنش تسلیم به ترتیب ۰/۰۲ و ۰/۰۱ درصد شده است. همچنین جهت مشاهده توزیع نانوذرات و نوع شکست، آنالیز سطح شکست نمونه‌ها انجام شده است.

۱- مقدمه

یکی از راههای افزایش خواص مکانیکی کامپوزیت‌ها بدون تغییر در وزن کامپوزیت استفاده از نانوذرات است. در این میان، نanolوله‌های کربنی و نانو ذرات گرافن علاوه بر اینکه استحکام بالایی دارند، از انعطاف‌پذیری خوبی برخوردار هستند. نanolوله‌های کربنی تک‌جداره و چندجداره و نانوذرات گرافن^۱ به واسطه تولید انبووه در دسترس و ارزان هستند. بنابراین در مقیاس صنعتی بطور وسیع استفاده می‌شوند. پژوهش‌های زیادی در مورد اثرات افزودن این نانو مواد به رزین‌های مختلف انجام شده است [۱].

رزین‌های اپوکسی دسته‌ای از مواد پلیمری هستند که به واسطه حضور بیش از یک حلقه‌ی سه عضوی که به گروه اپوکسی، اپوکساید، اکسیران یا اتوکسیلان شناخته می‌شود، مشخص می‌گردند. اپوکسی‌ها یکی از مستعدترین طبقات پلیمرها با کاربردهای گوناگونی همچون

1 Graphene Nanoparticles

* نویسنده عهده‌دار مکاتبات: m-bahrami@tvu.ac.ir



2 Thermoset

3 Synergistic

(Creative Commons License) حقوق مؤلفین به نویسنده‌گان و حقوق ناشر به انتشارات دانشگاه امیرکبیر داده شده است. این مقاله تحت لیسانس آفرینندگی مردمی (Creative Commons License) در دسترس شما قرار گرفته است. برای جزئیات این لیسانس، از آدرس <https://www.creativecommons.org/licenses/by-nc/4.0/legalcode> دیدن فرمائید.

۹/۰ درصد نانوپلیت گرافن و ۱/۰ درصد نانولوله کربنی به دست آوردند. ویکانگ لی و همکاران [۹]، اثر همافزایی نانوپلیت گرافن و نانولوله کربنی را بر خواص مکانیکی نانوکامپوزیت اپوکسی بررسی نمودند و ۲۰ درصد افزایش استحکام کششی و ۱۴ درصد افزایش مدول یانگ را برای ۰/۲۶ درصد نانوپلیت گرافن و ۰/۲۴ درصد نانولوله کربنی به دست آوردند. لیانگ یو و همکاران [۱۰]، اثر همافزایی نانوپلیت گرافن و نانولوله کربنی را بر خواص مکانیکی نانوکامپوزیت اپوکسی بررسی نمودند و ۱۲ درصد افزایش استحکام کششی و ۱۸ درصد افزایش مدول یانگ را برای ۰/۰۸ درصد نانوپلیت گرافن و ۰/۰۲ درصد نانولوله کربنی به دست آوردند. شین یانگ و همکاران [۱۱]، اثر همافزایی نانوپلیت گرافن و نانولوله کربنی را بر خواص مکانیکی نانوکامپوزیت اپوکسی بررسی نمودند و ۱۲ درصد افزایش استحکام کششی و ۱۸ درصد افزایش مدول یانگ را برای ۰/۹ درصد نانوپلیت گرافن و ۰/۱ درصد نانولوله کربنی به دست آوردند. پوناما دی و همکارانش [۱۲]، اثر همافزایی اکسید گرافن کاهش یافته و نانولوله‌های کربنی چندجداره را بر روی لاستیک طبیعی بررسی کردند و ۸۰ درصد افزایش استحکام کششی و ۱۰۰ درصد افزایش مدول یانگ را برای ۲/۱۵ درصد وزنی اکسید گرافن و ۲/۱۵ درصد وزنی نانولوله‌های کربنی چندجداره به دست آوردند. اینلیانگ وانگ و همکارانش [۱۳]، اثر همافزایی اکسید گرافن و نانولوله کربنی را بر خواص مکانیکی نانوکامپوزیت نوعی اپوکسی^۵ بررسی نمودند و ۷۳ درصد افزایش مدول یانگ و ۷۵ درصد افزایش تنش نهایی را برای ۴ درصد نانوذرات نسبت به اپوکسی خالص به دست آوردند. بی مینگ جن و همکارانش [۱۴]، اثر همافزایی نانوپلیت گرافن و نانولوله کربنی چندجداره را بر خواص مکانیکی نانوکامپوزیت اپوکسی بررسی نمودند که برای ۰/۰ درصد نانوذرات با نسبت اختلاط ۹/۱ مدول یانگ، تنش تسلیم و تنش نهایی اپوکسی به ترتیب ۵/۵ و ۱۵/۳ درصد افزایش پیدا کردند. آنکیتا بیشت و همکارانش [۱۵]، اثر همافزایی گرافن و نانولوله کربنی را بر خواص مکانیکی نانوکامپوزیت اپوکسی بررسی نمودند که برای ۵/۰ درصد نانوذرات با نسبت اختلاط ۷/۵ به ۲/۵ تنش نهایی اپوکسی ۲/۴۶ درصد افزایش پیدا کرد. یاچائو لی و همکاران [۱۶] مروری بر تحقیقات انجام شده بر روی بهبود خواص مکانیکی را برای نانوکامپوزیت‌های تقویت شده با نانولوله کربنی گزارش کرده‌اند که بهبود خواص مکانیکی برای درصدهای خاصی از ترکیب مشاهده شده است. همچنین پاپاجور جیو و همکاران [۱]، مروری بر تحقیقات انجام شده بر روی خواص مکانیکی پلیمرهای تقویت شده با مشتقات گرافن و همچنین اثر

در بهبود خواص مکانیکی، هدایت حرارتی و هدایت الکتریکی کامپوزیت اپوکسی وجود دارد. بعضی مطالعات نشان می‌دهند که نانولوله‌های کربنی چند جداره^۱ می‌توانند به خوبی از طریق گرافن و مشتقات آن پراکنده شوند که خواص بهتر را نسبت به حالت تکی نشان می‌دهد [۱].

ترکیبی از نانوفیلرها نه تنها باعث افزایش استحکام کششی و مدول یانگ می‌شود، بلکه همچنین باعث افزایش سختی نانوکامپوزیت‌ها^۲ می‌شوند. این حال، دستیابی به تغییرات مکانیکی قابل توجهی از گرماسخت مانند اپوکسی، نسبتاً سخت‌تر است. لیانگ و همکارانش [۳]، اثر اکسید گرافن^۳ بر روی پلی‌وینیل الکل بررسی کردند و ۷۶ درصد افزایش استحکام کششی و ۶۲ درصد افزایش مدول یانگ را تنها با اضافه کردن ۰/۷ درصد وزنی اکسید گرافن به دست آوردند. بیندو شارمیلا و همکارانش [۴]، اثر اکسید گرافن کاهش یافته را بر اپوکسی بررسی کردند و ۳۲ درصد افزایش استحکام کششی، ۱۱ درصد افزایش مدول یانگ، ۱۰۳ درصد افزایش استحکام ضربه‌ای ۸۵ درصد افزایش استحکام خمی را با اضافه کردن ۰/۲۵ درصد وزنی اکسید گرافن کاهش یافته به دست آوردند. نریمان یوسفی و همکارانش [۵]، اثر اکسید گرافن کاهش یافته را بر اپوکسی بررسی کردند و ۴۰۰ درصد افزایش استحکام کششی را با اضافه کردن ۱/۵ درصد وزنی اکسید گرافن کاهش یافته و ۷۰ درصد افزایش مدول یانگ را با اضافه کردن ۲ درصد وزنی اکسید گرافن کاهش یافته به دست آوردند. چنگ تانگ و همکارانش [۶]، اثر اکسید گرافن کاهش یافته را بر اپوکسی بررسی کردند و ۷ درصد افزایش استحکام کششی و ۶ درصد افزایش مدول یانگ را با اضافه کردن ۰/۲ درصد وزنی اکسید گرافن کاهش یافته به دست آوردند. یوانگینگ لی و همکارانش [۷]، اثر همافزایی اکسید گرافن و نانولوله‌های کربنی چندجداره را بر روی اپوکسی بررسی کردند و ۱۲ درصد افزایش استحکام کششی را برای ۰/۲ درصد وزنی اکسید گرافن و ۰/۰۴ درصد وزنی نانولوله‌های کربنی چندجداره را بر روی ۰/۱ درصد افزایش مدول یانگ را برای ۰/۲ درصد وزنی اکسید گرافن و ۰/۰ درصد وزنی نانولوله‌های کربنی چندجداره به دست آوردند. پین نینگ و همکاران [۸]، اثر همافزایی نانوپلیت گرافن و نانولوله کربنی را بر خواص مکانیکی نانوکامپوزیت اپوکسی برای درصدهای مختلف نانوپلیت گرافن و نانولوله کربنی بررسی نمودند و ۲۶/۴ درصد افزایش استحکام خمی، ۲۲ درصد افزایش استحکام کششی و ۳/۲۴ درصد افزایش مدول خمی را برای

1 Multi-walled Carbon Nanotubes (MWCNTs)

2 Nanocomposite

3 Graphene Oxide (GO)

4 Reduced Graphene Oxide (RGO)

دقیقه قرار داده شد تا کلوخه‌های آن از هم باز شود [۱۷]. سپس مخلوط با هاردنر براساس نسبت اختلاط ترکیب شده و توسط همزن مغناطیسی به مدت ۵ دقیقه با دور ۵۰۰ دور در دقیقه همزده شده است. بعد از آن، توسط پمپ خلاء حباب‌های داخل آن خارج شده و در پایان مخلوط آماده شده، داخل قالب ریخته شده است. بعد از ۲۴ ساعت نمونه‌ها از قالب جدا و به مدت یک هفته در دمای محیط نگه داشته شده است تا پخت آنها کامل شود. همچنین جهت مقایسه نتایج مربوط به خواص مکانیکی نمونه بدون افزودن نانومواد نیز ساخته شده است.

در شکل ۱ مراحل آماده سازی نمونه‌های نانوکامپوزیت نشان داده شده است.

۳-۲-۳ آزمون کشش

جهت انجام آزمایش کشش بر روی نمونه‌های دمبلی شکل نانوکامپوزیت که براساس استاندارد ASTM-D638 ساخته شده‌اند از ماشین آزمون کشش یونیورسال سنتام ۱۵۰ استفاده شده است [۱۸]. سپس نمونه‌ها در دستگاه قرار داده شده و بعد از تنظیم اکستنسومتر^۱ و معروفی ابعاد نمونه در نرمافزار دستگاه، سرعت آزمون روی ۲ میلی‌متر بر دقیقه تنظیم شده و تست انجام می‌شود و تا شکست نمونه ادامه دارد. در شکل ۲ نحوه انجام آزمون کشش برای نمونه اپوکسی خالص نشان داده شده است.

۳-۲-۴ بررسی سطح شکست نمونه

به منظور بررسی سطح شکست نمونه‌ها از میکروسکوپ الکترونیکی SEM مدل AIS2300C تحت ولتاژ شتابی $kV 22$ استفاده شده که در شکل ۳-الف تصویر مربوط به آن آورده شده است. همچنین بر روی نمونه‌ها پوششی از طلا استفاده شده است تا رسانایی آن بیشتر شود. این پوشش‌دهی در محیط خلاء توسط دستگاه پوشش‌دهی طلا hoyeon انجام می‌شود و در شکل ۳-ب تصویر آن نشان داده شده است.

۳- نتایج و بحث

۳-۱ نتایج آزمون کشش

نتایج مربوط به آزمون کشش به سه بخش تقسیم شده است. ابتدا نتایج مربوط به نانوکامپوزیت اپوکسی/نانولوله کربنی چندجداره با اپوکسی خالص مقایسه شده است. سپس نتایج مربوط به نانوکامپوزیت اپوکسی/نانوکسیدگرافن کاهش‌یافته با اپوکسی و در پایان نتایج مربوط به اثر

همافزایی مشتقات گرافن با نانوذرات دیگر را ارائه دادند. که بهبود خواص مکانیکی برای حالت‌های خاصی از نانوکامپوزیت حاصل شده است.

اثر همزمان نانولوله کربنی چندجداره و نانوکسید گرافن کاهش‌یافته به عنوان پرکننده ترکیبی بر روی رزین‌های گرماسخت هنوز مشخص نیست و از آنجاییکه اثر اکسیدگرافن کاهش‌یافته نسبت به اکسیدگرافن در بهبود خواص مکانیکی بهتر است، پس انتظار می‌رود که بهبود خواص مکانیکی نانوکامپوزیت اکسیدگرافن کاهش‌یافته و نانولوله کربنی چندجداره نسبت به نانوکامپوزیت اکسیدگرافن و نانولوله کربنی چندجداره بهتر باشد. هدف تحقیق حاضر، بررسی اثر اضافه‌نمودن همزمان این نانو ذرات بر روی خواص مکانیکی رزین‌های گرماسخت مانند اپوکسی و تعیین نسبت اختلاط این دو نانو ذره به منظور بهبود خواص مکانیکی است. بدین منظور ابتدا نمونه‌هایی از نانوکامپوزیت‌ها با نانولوله کربنی چندجداره و نانوکامپوزیت با نانوکسید گرافن کاهش‌یافته ساخته شده و با آزمون کشش خواص مکانیکی آن استخراج شده است سپس برای نمونه با خواص بهتر اثر اضافه‌کردن نانو ذره دیگر بر خواص مکانیکی مورد بررسی قرار گرفته و نتایج حاصل از آنها گزارش شده است.

۲- مطالعات آزمایشگاهی

۲-۱ مواد مورد استفاده

اکسید گرافن کاهش‌یافته با ابعاد بین ۱ تا ۱۰ میکرون و ضخامت ۰/۸ تا ۲ نانومتر و خلوص بیشتر از ۹۸/۸ درصد و نانولوله کربنی چندجداره با طول میانگین ۱۰ میکرون و میانگین قطر خارجی ۲۵ نانومتر و درصد خلوص بیشتر از ۹۸/۸ از شرکت یونایتد نانوتک تهیه شده‌اند. رزین اپوکسی CY219 با هاردنر HY5161 با نسبت اختلاط ۲ به ۱ ساخت شرکت هانستمن از شرکت شیمی افسون تهیه شده است.

۲-۲ آماده‌سازی نمونه‌های نانوکامپوزیت

جهت آماده‌سازی نانوکامپوزیت‌ها از استاندارد ASTM D638 و روش مخلوط‌سازی مستقیم استفاده شده است. بدین منظور، ابتدا درصد مورد نیاز از هر کدام از نانو مواد (نانولوله کربنی چندجداره و اکسید گرافن کاهش‌یافته) به رزین اضافه شده و توسط همزن مغناطیسی در دمای محیط (حدوداً ۳۷ درجه سانتیگراد) به مدت ۳۰ دقیقه با دور ۵۰۰ دور در دقیقه همزده شده است. زمان بیشتر همزدن مخلوط تاثیری در حل شدن نانو مواد ندارد. در مرحله بعد، مخلوط آماده شده داخل حمام آتراسونیک با توان ۱۰۰ وات به مدت ۲۰

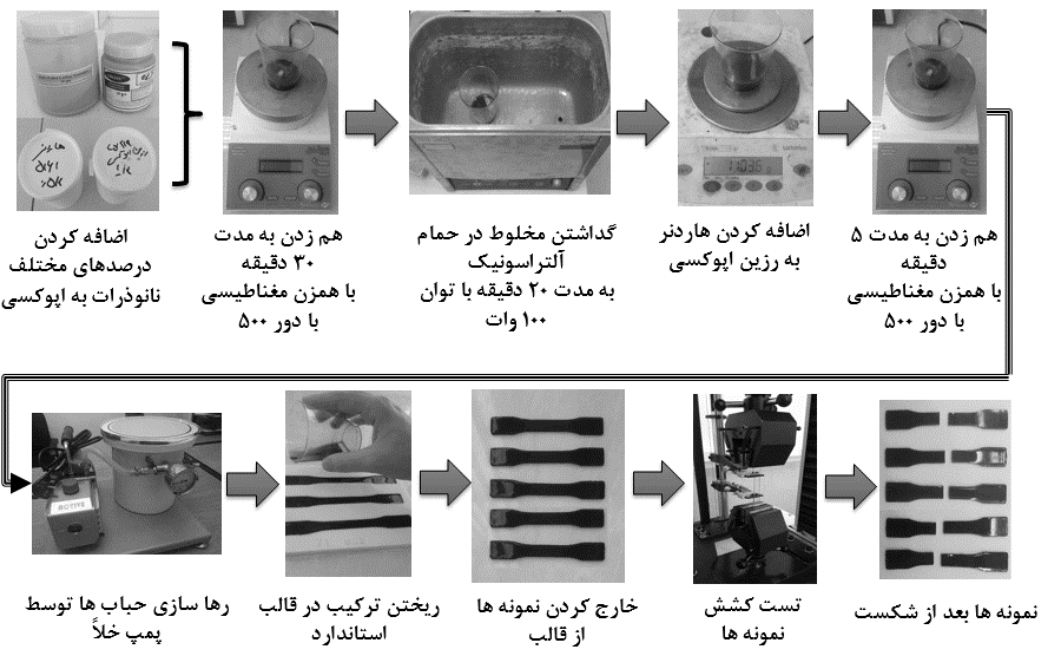


Fig. 1. The steps for fabricating of nanocomposite specimens



شکل ۲. دستگاه آزمون کشش سنتام

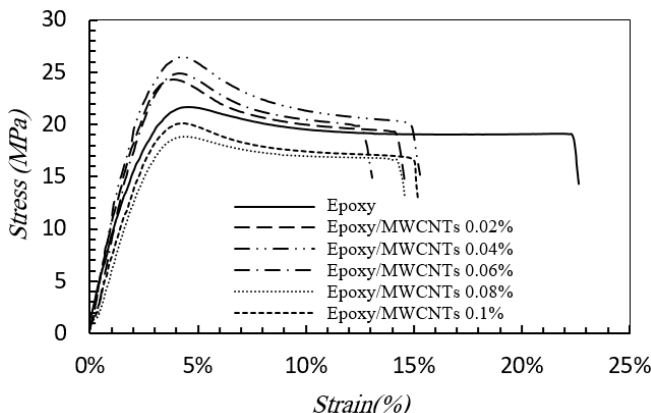
Fig. 2. The tensile test set up SANTAM

هم افزایی دو نانو ذره آورده شده است.

در شکل ۴ نتایج مربوط به تست کشش نانو کامپوزیت اپوکسی / نانولوله کربنی چند جداره برای درصد های ۰/۰۲، ۰/۰۴، ۰/۰۶، ۰/۰۸ و ۰/۱ نانولوله کربنی چند جداره آورده شده است.

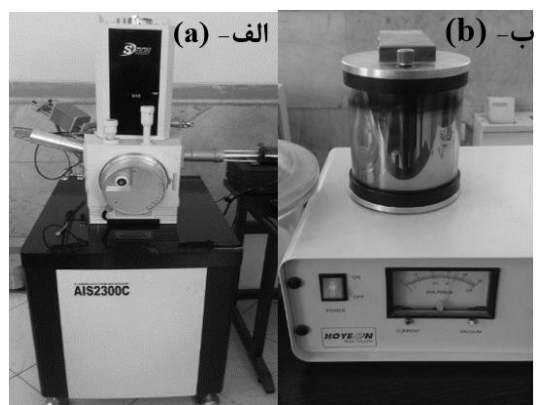
در شکل ۵ و ۶ نتایج مربوط به تست کشش نانو کامپوزیت اپوکسی / نانولوله کربنی چند جداره شامل مدول یانگ، تنش نهایی، تنش تسليیم، چقلمگی شکست و کرنش شکست برای درصد های ۰/۰۲، ۰/۰۴، ۰/۰۶، ۰/۰۸ و ۰/۱ نانولوله کربنی چند جداره آورده شده است.

با توجه به نتایج نشان داده شده در شکل ۵، بیشترین میزان افزایش مدول یانگ، تنش نهایی و تنش تسليیم مربوط به نانو کامپوزیت با ۰/۰۴ درصد نانولوله کربنی چند جداره می باشد و به ترتیب حدود ۱۲/۴۷، ۷/۲۱، ۳۵/۷ و ۰/۰۴ درصد است. چنین رفتاری برای نانو کامپوزیت های تقویت شده با نانولوله کربنی چند جداره قبل از گزارش شده است [۱۹]. همچنین مقادیر مربوط به مدول یانگ، تنش نهایی و تنش تسليیم مربوط به اپوکسی CY 219 با نتایج ارائه شده توسط رحمت الله قجر و همکاران در دمای ۳۷ درجه تطابق دارد [۲۰]. علت افزایش مدول یانگ می تواند بخاطر استفاده از پر کننده نانولوله



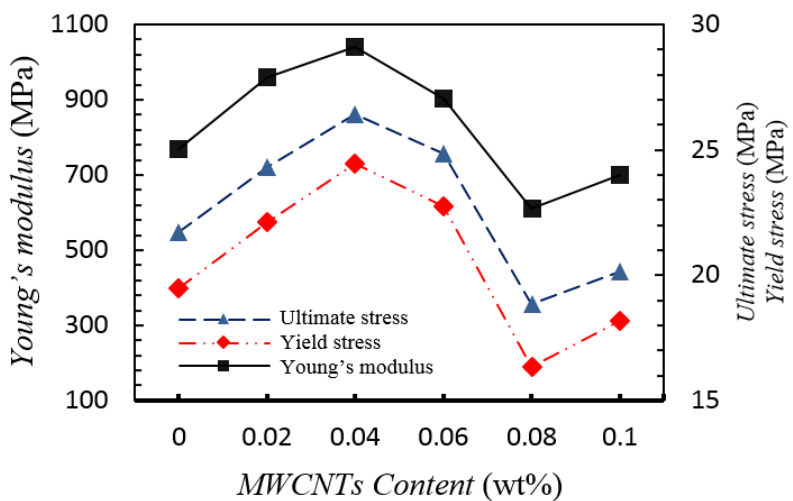
شکل ۴. نمودار تنش کرنش مربوط به نانوکامپوزیت با درصدهای مختلف نانولوله کربنی چند جداره

Fig. 4. The stress-strain curve for nanocomposite specimens with different MWCNTs weight percentages



شکل ۳. (a) دستگاه میکروسکوپ الکترونیکی (SEM) (b) دستگاه پوشش دهنده طلا

Fig. 3. (a) Scanning Electronic Microscope (b) Gold coating device



شکل ۵. مدول یانگ، تنش نهایی و تنش تسليیم نتایج مربوط به آزمون کشش نانوکامپوزیت با درصدهای مختلف نانولوله کربنی چند جداره

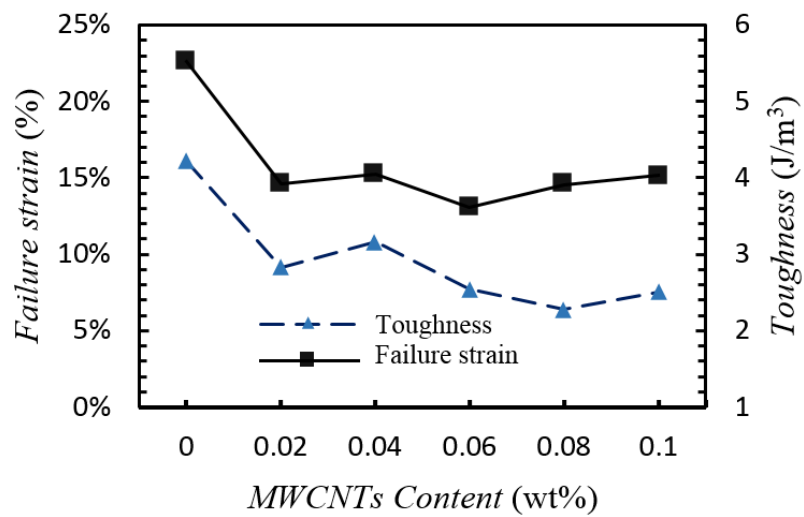
Fig. 5. The Young's modulus, ultimate stress and yield stress of tensile test of nanocomposite with different MWCNTs weight percentages

نانولوله کربنی و اپوکسی باشد. با افزایش برهمنکش بین نانولوله کربنی و اپوکسی تحرك زنجیره های اپوکسی کمتر شده، انعطاف پذیری کاهش می یابد.

در شکل ۷، نتایج مربوط به تست کشش نانوکامپوزیت اپوکسی / اکسید گرافن کاهش یافته برای برای درصدهای وزنی $0/2$ ، $0/4$ ، $0/6$ ، $0/8$ و $0/1$ نانو اکسید گرافن کاهش یافته آورده شده است.

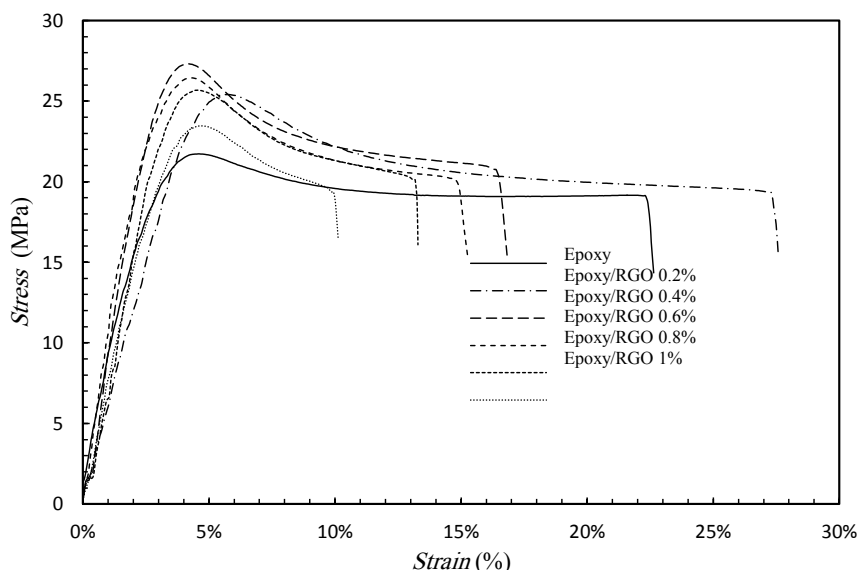
در شکل ۸ و ۹ نیز به ترتیب نتایج مربوط به تست کشش نانوکامپوزیت

کربنی چند جداره باشد که دارای مدول یانگ بالای هستند و علت افزایش تنش نهایی، پیوند نانولوله های کربنی با اپوکسی و جلوگیری از رشد و ایجاد ترک است. در ادامه با افزایش درصد نانولوله کربنی بر اثر تشکیل کلوخه های نانولوله کربنی در ترکیب، تمرکز تنش ایجاد شده و مقدار مدول یانگ، تنش نهایی و تنش تسليیم کاهش پیدا کرده است. مطابق شکل ۶ با افزایش درصد نانولوله های کربنی میزان چقرمگی شکست و کرنش شکست کاهش پیدا کرده است که این می تواند به علت چسبندگی قوی و برهمنکش قوی بین



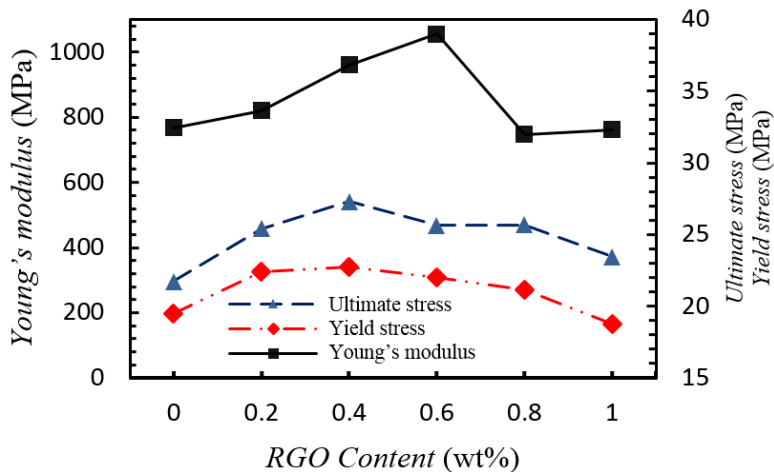
شکل ۶. چرمه‌گی شکست و کرنش شکست نانوکامپوزیت با درصدهای مختلف نانولوله کربنی چندجداره

Fig. 6. The fracture toughness and failure strain of nanocomposite with different MWCNTs weight percentages



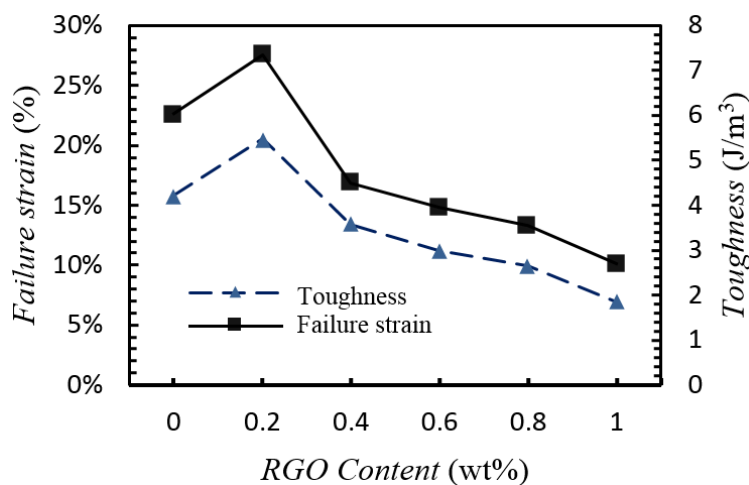
شکل ۷. نمودار تنش کرنش مربوط به نانوکامپوزیت با درصدهای مختلف اکسید گرافن کاهش یافته

Fig. 7. The stress-strain curve for nanocomposite specimens with different RGO weight percentages



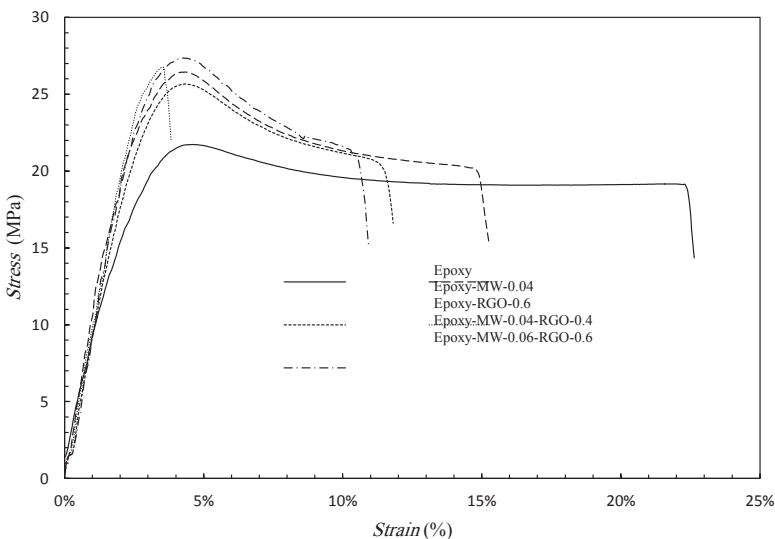
شکل ۸. مدول یانگ، تنش نهایی و تنش تسليیم نتایج مربوط به آزمون کشش نانوکامپوزیت با درصدهای مختلف اکسیدگرافن کاهش یافته

Fig. 8. Young's modulus, ultimate stress and yield stress of tensile test of nanocomposite with different RGO weight percentages



شکل ۹. چقرومگی شکست و کرنش شکست نانوکامپوزیت با درصدهای وزنی مختلف اکسیدگرافن کاهش یافته

Fig. 9. The fracture toughness and failure strain of nanocomposite with different RGO weight percentages



شکل ۱۰. نمودار تنش کرنش مربوط به نانوکامپوزیت با درصدهای وزنی مختلف نانولوله کربنی چند جداره و نانواکسیدگرافن کاهش یافته

Fig. 10. The stress-strain curve for nanocomposite specimens with different MWCNTs and RGO weight percentages

نتیجه انعطاف‌پذیری نانوکامپوزیت کاهش می‌یابد.

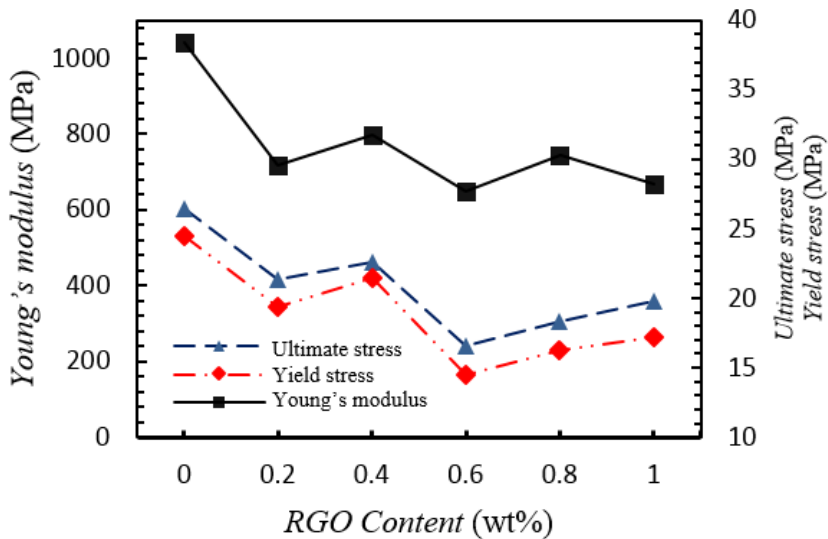
در شکل ۱۰ نمودار تنش-کرنش برای نانوکامپوزیت اپوکسی/نانولوله کربنی چند جداره/نانواکسیدگرافن کاهش یافته برای چند درصد مختلف آورده شده است.

در شکل ۱۱ و ۱۲ نتایج اثر هم‌افزایی $0/0.4$ درصد نانولوله کربنی با درصدهای $0/2$, $0/4$, $0/6$, $0/8$ و 1 نانواکسیدگرافن کاهش یافته آورده شده است.

با توجه به شکل ۱۱ اثر افزودن نانواکسیدگرافن کاهش یافته به نانوکامپوزیت اپوکسی $/0.4$ درصد نانولوله کربنی که بیشترین میزان مدول یانگ، تنش نهایی و تنش تسلييم را داشت، باعث کاهش مدول یانگ، تنش نهایی و تنش تسلييم شده است. بهترین ترکیب اپوکسی $/0.4$ درصد نانولوله کربنی چند جداره $/0.4$ درصد نانواکسیدگرافن کاهش یافته است (نسبت 1 به 10)، که مدول یانگ، تنش نهایی و تنش تسلييم به ترتیب $4/0.4$, $4/0.2$ و $10/1$ درصد نسبت به اپوکسی خالص افزایش و $23/3$, $14/5$ و $12/45$ درصد نسبت به نانوکامپوزیت اپوکسی $/0.4$ درصد نانولوله کربنی چند جداره، کاهش پیدا کرده است. این نسبت 1 به 10 را می‌توان نسبت بهینه برای ترکیب دو نانو ذره در نظر گرفت. نوسان های مربوط به تغییرات خواص را می‌توان به دو عامل که در اثر ترکیب هم زمان دو نانو ذره بوجود می‌آید نسبت داد. اول اینکه افزودن نانواکسیدگرافن کاهش یافته باعث توزیع

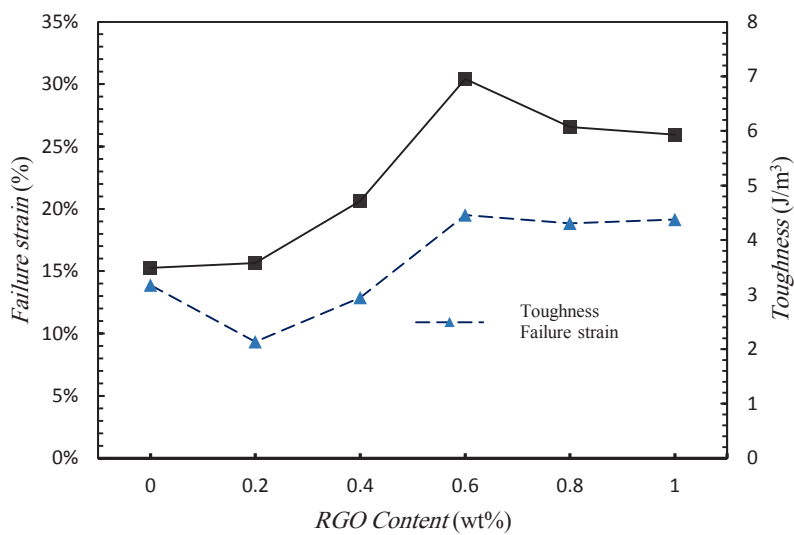
اپوکسی/اکسیدگرافن کاهش یافته شامل مدول یانگ، تنش نهایی، تنش تسلييم، چقمرمگی شکست و کرنش شکست برای درصدهای وزنی $0/2$, $0/4$, $0/6$, $0/8$ و 1 نانواکسیدگرافن کاهش یافته آورده شده است.

با توجه به شکل ۸ بیشترین میزان افزایش مدول یانگ، تنش نهایی و تنش تسلييم مربوط به نانوکامپوزیت $0/0.4$ درصد نانواکسیدگرافن کاهش یافته بوده و به ترتیب حدود $14/37$, $1/18$ و $1/13$ درصد می‌باشد. چنین رفتاری برای نانوکامپوزیت‌های تقویت شده با نانواکسیدگرافن کاهش یافته قبلاً گزارش شده است [۲۱]. علت افزایش مدول یانگ بخارط استفاده از پرکننده نانواکسیدگرافن کاهش یافته است که دارای مدول یانگ بالایی هستند و همچنین ورقه‌ای بودن این نانوذره که باعث برهمکنش‌های قوی مابین نانوذره و اپوکسی شده است. علت افزایش تنش نهایی و تنش تسلييم برهمکنش بین ورقه‌های نانواکسیدگرافن کاهش یافته با اپوکسی و جلوگیری از رشد و ایجاد ترک است. در ادامه با افزایش درصد نانواکسیدگرافن کاهش یافته بر اثر تشکیل انباستگی ورقه‌های نانواکسیدگرافن کاهش یافته در ترکیب، تمرکز تنش ایجاد شده و مقدار مدول یانگ، تنش نهایی و تنش تسلييم کاهش پیدا کرده است. همچنین با افزایش درصد نانواکسیدگرافن کاهش یافته میزان چقمرمگی شکست و کرنش شکست مطابق شکل ۹ کاهش پیدا کرده است که این نیز می‌تواند به علت برهمکنش‌های قوی کووالانسی و غیرکووالانسی مابین نانوذره و اپوکسی باشد که مانع تحرک زنجیرهای پلیمری می‌شود. در



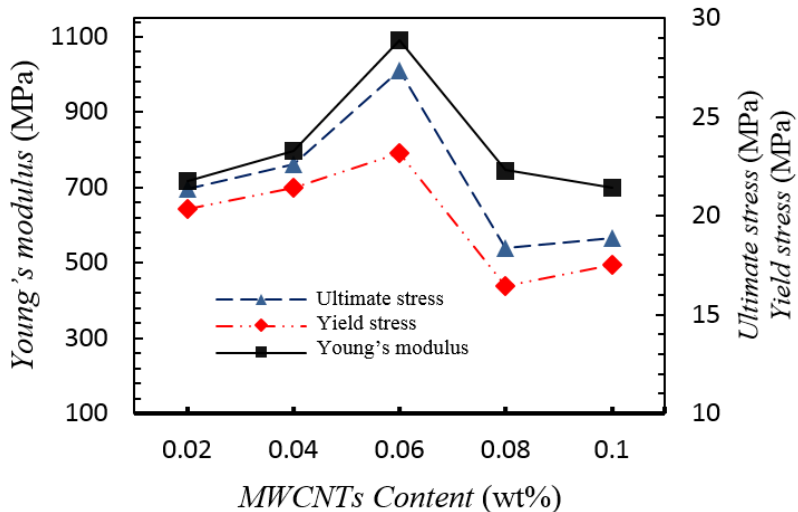
شکل ۱۱. مدول یانگ، تنش نهایی و تنش تسلیم نتایج مربوط به آزمون کشش نانوکامپوزیت با درصدهای مختلف اکسیدگرافن کاهش یافته و ۰/۰۴٪ درصد نانولوله کربنی

Fig. 11. Young's modulus, ultimate stress and yield stress of tensile test of nanocomposite with different RGO weight percentages and 0.04% MWCNTs.



شکل ۱۲. چرمگی شکست و کرنش شکست نانوکامپوزیت با درصدهای مختلف اکسیدگرافن کاهش یافته و ۰/۰۴٪ درصد نانولوله کربنی

Fig. 12. The fracture toughness and failure strain of nanocomposite with different RGO weight percentages and 0.04% MWCNTs.



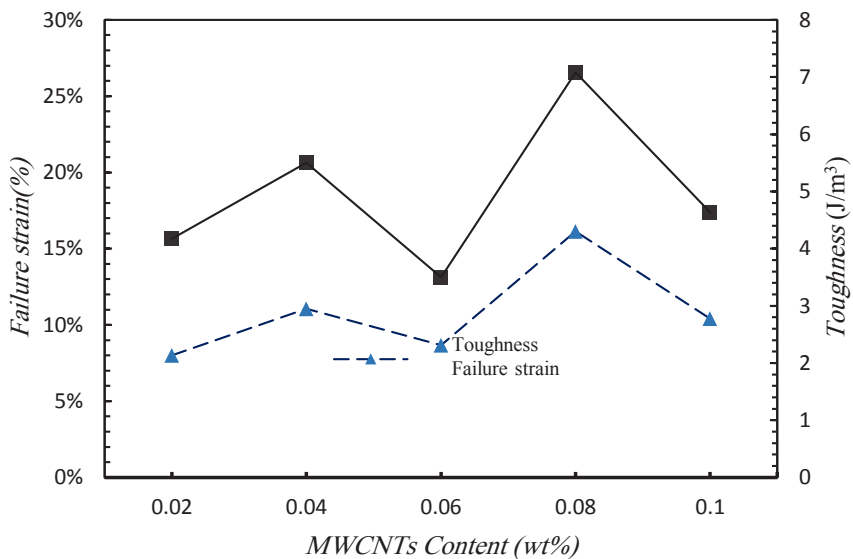
شکل ۱۳. مدول یانگ، تنش نهایی و تنش تسیلیم نانوکامپوزیت اپوکسی / نanolوله کربنی چندجداره / نانوکسیدگرافن کاهش یافته برای نسبت ۱ به ۱۰ و درصدهای وزنی مختلف نanolوله کربنی چندجداره

Fig. 13. Young's modulus, ultimate stress and yield stress of nanocomposite epoxy/MWCNTs/RGO with Mixing ratio 1: 10 and different MWCNTs weight percentages

با توجه به شکل ۱۳ نتایج مربوط به مدول یانگ، تنش نهایی و تنش تسیلیم آورده شده است که بهینه‌ترین ترکیب با توجه به نسبت اختلاط ۱ به ۱۰، نانوکامپوزیت اپوکسی / ۰/۰۶ درصد نanolوله کربنی چندجداره / ۰/۶ درصد نانوکسیدگرافن کاهش یافته است که مدول یانگ، تنش نهایی و تنش تسیلیم به ترتیب ۴۲/۲، ۲۵/۸۸ و ۱۸/۹۷ درصد نسبت به اپوکسی خالص و ۳/۴، ۶/۶ و ۵/۱۵ درصد نسبت به نانوکامپوزیت اپوکسی / ۰/۶ درصد نانوکسیدگرافن کاهش یافته، افزایش پیدا کرده است. علت افزایش مدول یانگ، تنش نهایی و تنش تسیلیم در این ترکیب برهم‌کنش قوی دو نانوذرات در این نسبت اختلاط بهینه و تشکیل ساختارهای سه بعدی است که از تجمع چهره به چهره ورقه‌های نانوکسیدگرافن کاهش یافته جلوگیری می‌کند. این ساختار سه بعدی باعث ایجاد سطح تماس بیشتر بین اپوکسی و نانوذرات می‌شود. یکی دیگر از علل افزایش این هم‌افزایی این است که نanolوله‌های کربنی می‌توانند به عنوان شاخص‌هایی توسعه یافته برای ساختارهای سه بعدی بوجود آمده عمل کنند، که می‌تواند با زنجیره‌های پلیمری درگیر شود و در نتیجه تعامل بهتری بین دو نانوذره و اپوکسی ایجاد شود [۱۱]. علت کاهش مدول یانگ، تنش نهایی و تنش تسیلیم برای درصدهای بالاتر از نانوذرات به علت افزایش گرانروی ترکیب است که منجر به محبوس شدن حباب در داخل نانوکامپوزیت در هنگام پخت و مانع برهم‌کنش قوی بین

بهتر نanolوله‌های کربنی و در نتیجه برهم‌کنش بهتر نانوذرات با اپوکسی می‌شود. دوم اینکه نسبت بالای نانوکسیدگرافن کاهش یافته مانع برای توزیع یکنواخت‌تر نanolوله کربنی است. درصد بالای نانوذرات باعث افزایش گرانروی ترکیب شده و در نهایت منجر به نقص‌هایی مانند حباب هوا و یا توزیع ناهمگن نانوذرات و ایجاد کلوخه در کامپوزیت می‌شود. همچنین مطابق شکل ۱۲ افزودن اکسیدگرافن کاهش یافته باعث افزایش چermگی شکست و کرنش شکست شده است. دلیل این امر این است که زمانی که برهم‌کنش قوی بین نانوذرات و اپوکسی اتفاق نیافتد، زنجیره‌های پلیمری می‌توانند تحرك بیشتری داشته باشند و در نتیجه انعطاف‌پذیری نانوکامپوزیت افزایش می‌یابد. همچنین بهترین وضعیت برای افزایش چermگی شکست و کرنش شکست برای ترکیب اپوکسی / ۰/۰۴ درصد نanolوله کربنی چندجداره / ۰/۶ درصد نانوکسیدگرافن کاهش یافته است (نسبت ۱ به ۱۵)، که به ترتیب ۶۷/۵ و ۳۸/۳۴ درصد نسبت به اپوکسی خالص و ۲/۹۹ و ۵/۴۰ درصد نسبت به نانوکامپوزیت اپوکسی / ۰/۴ درصد نanolوله کربنی چندجداره، افزایش نشان می‌دهد.

در اشکال ۱۳ و ۱۴ نتایج اثر هم‌افزایی نانوکسیدگرافن کاهش یافته و نanolوله کربنی چندجداره برای نسبت ۱ به ۱۰ و درصدهای وزنی ۰/۰۲، ۰/۰۶، ۰/۰۸ و ۰/۱۰ نanolوله کربنی چندجداره آورده شده است.



شکل ۱۴. چرمگی شکست و کرنش شکست نانوکامپوزیت اپوکسی/نانولوله کربنی چندجداره / نانوکسیدگرافن کاهش یافته برای نسبت ۱ به ۱۰ و درصدهای وزنی مختلف نانولوله کربنی چندجداره

Fig. 14. The fracture toughness and failure strain of nanocomposite epoxy/MWCNTs/RGO with Mixing ratio 1: 10 and different MWCNTs weight percentages

۶- درصد نانوکسیدگرافن کاهش یافته ۴- اپوکسی با ۰/۰۶ درصد نانولوله کربنی چندجداره و ۰/۰۶ درصد نانوکسیدگرافن کاهش یافته، آورده شده است.

۳-۲- بررسی سطح شکست نمونه ها
جهت بررسی سطح شکست نمونه ها برای درصد های مختلف نانوذرات از میکروسکوپ الکترونیکی SEM استفاده شده است. شکل ۱۵ تصاویر مربوط به سطح شکست برای چهار نمونه الف-اپوکسی خالص ب-اپوکسی با ۰/۰۶ درصد نانولوله کربنی چندجداره پ-اپوکسی با ۰/۰۶ درصد نانوکسیدگرافن کاهش یافته ت-اپوکسی با ۰/۰۶ درصد نانولوله کربنی چندجداره و ۰/۰۶ درصد نانوکسیدگرافن کاهش یافته، آورده شده است.

شکل ۱۵-الف سطح شکست اپوکسی خالص است که صاف است و نشان دهنده نبود نانوذرات داخل اپوکسی و تردیدون سطح شکست است. شکل ۱۵-ب ترکیب همگن نانولوله کربنی با اپوکسی در سطح شکست را نشان می دهد و باعث تغییر مسیر شکست شده است و ترک را مجبور به انتشار در طول یک مسیر بسیار شلوغ کرده است. شکل ۱۵-پ ترکیب همگن نانو اکسیدگرافن کاهش یافته با اپوکسی را نشان می دهد که در آن تغییر مسیر شکست نمود بیشتری دارد و این باعث افزایش جذب انرژی توسط

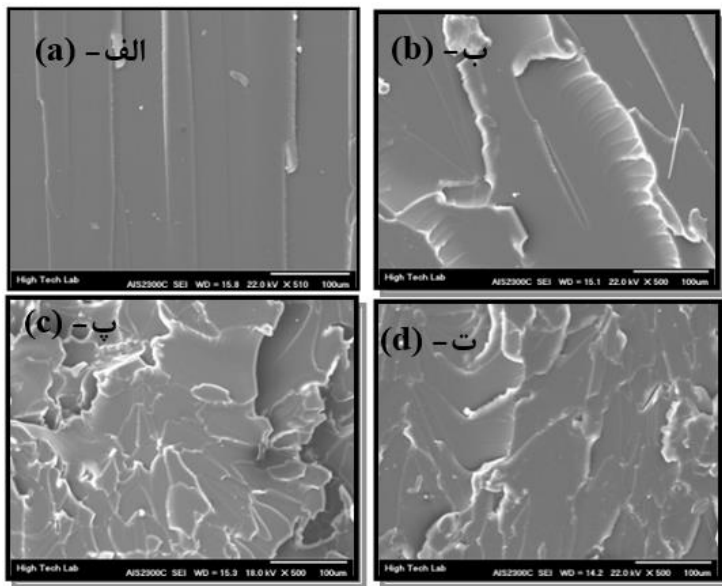
نانوذرات می شود. بر اساس شکل ۱۴ ، نانوکامپوزیت اپوکسی /۰/۰۶ درصد نانوکسیدگرافن کاهش یافته /۰/۰۶ درصد نانولوله کربنی چندجداره کمترین مقدار چرمگی شکست و کرنش شکست را دارد که این بخاطر برهم کنش قوی بین نانوذرات و پلیمرهای اپوکسی و محدود شدن تحرک زنجیره های پلیمری و کاهش انعطاف پذیری نانوکامپوزیت در این درصد است. افزایش و کاهش مقدار چرمگی شکست و کرنش شکست برای درصد های بیشتر نانوذرات بخاطر بالارفتن درصد نانوذرات است که باعث افزایش گرانروی و در نتیجه عدم توزیع یکنواخت دو نانوذره می شود. عدم توزیع یکنواخت دو نانوذره منجر به کاهش برهم کنش های قوی بین دونانوذره و اپوکسی می شود. این پدیده باعث می شود که پیوندهای جداگانه اپوکسی/نانولوله کربنی و اپوکسی/اکسیدگرافن کاهش یافته همراه با ساختار اپوکسی/نانولوله کربنی/اکسیدگرافن کاهش یافته، در نانوکامپوزیت وجود داشته باشد. با توجه به این قضیه برحسب اینکه از هر ترکیب چه مقدار در نانوکامپوزیت وجود داشته باشد، چرمگی شکست و کرنش شکست با توجه به شکل های ۶ و ۹ رفتار خواهد کرد.

جدول ۱ برای مقایسه بین خواص مکانیکی چهار نمونه ۱- اپوکسی خالص ۲- اپوکسی با ۰/۰۶ درصد نانولوله کربنی چندجداره ۳- اپوکسی با

جدول ۱. مقایسه بین خواص مکانیکی سه نمونه نانوکامپوزیت با اپوکسی خالص

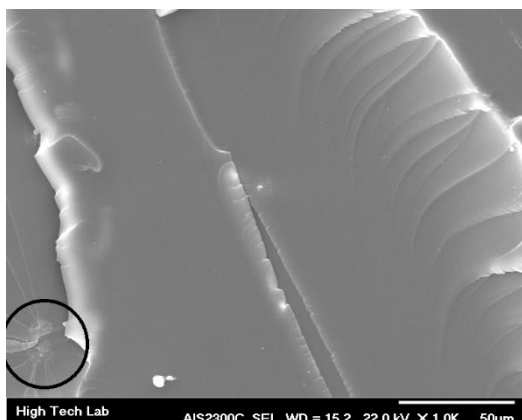
Table 1. the comparison of mechanical properties of three considered nanocomposites and neat epoxy.

خواص/ترکیب	مدول یانگ (GPa)	تنش نهایی (MPa)	تنش تسليم (MPa)	چقرمگی شکست (J/m ³)	کرنش شکست (%)
اپوکسی خالص	۰/۷۷	۲۱/۷۳	۱۹/۴۵	۴/۲۲	۲۲/۶
اپوکسی با ۰/۰۴ درصد نانولوله کربنی چندجداره	۱/۰۴	۲۶/۴۳	۲۴/۴۳	۳/۱۷	۱۵/۲۶
اپوکسی با ۰/۰۶ درصد نانوکسیدگرافن کاهش یافته	۱/۰۵	۲۵/۶۵	۲۲/۱	۲/۹۹	۱۴/۸۱
اپوکسی با ۰/۰۶ درصد نانولوله کربنی چندجداره و ۰/۰۶ درصد نانوکسیدگرافن کاهش یافته	۱/۰۹	۲۷/۳۵	۲۳/۱۴	۲/۳۱	۱۰/۹۳
	(+۴۲/۲ %)	(+۲۵/۸۸ %)	(+۱۸/۹۷ %)	(-۴۵/۲ %)	(-۵۱/۷۲ %)



شکل ۱۵. تصویر سطح شکست (الف) اپوکسی خالص (ب) اپوکسی با ۰/۰۴ درصد نانولوله کربنی چندجداره (پ) اپوکسی با ۰/۰۶ درصد نانوکسیدگرافن کاهش یافته (ت) اپوکسی با ۰/۰۶ درصد نانولوله کربنی چندجداره و ۰/۰۶ درصد نانوکسیدگرافن کاهش یافته

Fig. 15. The fracture surface of (a) neat epoxy (b) epoxy/0.04 % MWCNTs (c) epoxy/0.6% RGO (d) epoxy/0.06% MWCNTs/0.6% RGO



شکل ۱۶. کلوخه تشکیل شده داخل ترکیب اپوکسی با ۰/۰۴ درصد نanolوله کربنی چندجداره

Fig. 16. The agglomeration of MWCNTs in the epoxy matrix (0.04 % MWCNTs)

در نتیجه اضافه کردن نانوکسید گرافن کاهش یافته به نانوکامپوزیت اپوکسی /nanolوله کربنی چندجداره، باعث افزایش مسیر شکست و در نتیجه جلوگیری از رشد ترک و افزایش استحکام مکانیکی نانوکامپوزیت شده است.

منابع

- [1] D.G. Papageorgiou, I.A. Kinloch, R.J. Young, Mechanical properties of graphene and graphene-based nanocomposites, *Progress in Materials Science*, 90 (2017) 75-127.
- [2] C. May, *Epoxy resins: chemistry and technology*, CRC press, 1987.
- [3] J. Liang, Y. Huang, L. Zhang, Y. Wang, Y. Ma, T. Guo, Y. Chen, Molecular-level dispersion of graphene into poly (vinyl alcohol) and effective reinforcement of their nanocomposites, *Advanced Functional Materials*, 19(14) (2009) 2297-2302.
- [4] B.S. TK, A.B. Nair, B.T. Abraham, P.S. Beegum, E.T. Thachil, Microwave exfoliated reduced graphene oxide epoxy nanocomposites for high performance applications, *Polymer*, 55(16) (2014) 3614-3627.
- [5] N. Yousefi, X. Lin, Q. Zheng, X. Shen, J.R. Pothnis, J. Jia, E. Zussman, J.-K. Kim, Simultaneous in situ reduction, self-alignment and covalent bonding in graphene oxide/

نانوکامپوزیت شده است. همچنین ورقه های اکسید گرافن کاهش یافته باعث ایجاد اثر پل^۱ و جلوگیری از بازشدن شکاف های ترک شده است [۴].

شکل ۱۵-۱ ترکیب همگن دو نانو ماده با اپوکسی را نشان می دهد که نشان دهنده ترکیب بهتر نanolوله کربنی در اثر اضافه کردن نانوکسید گرافن کاهش یافته و افزایش طول مسیر شکست است.

شکل ۱۶ وجود کلوخه ها در ترکیب اپوکسی با ۰/۰۴ درصد نanolوله کربنی را نشان می دهد که باعث ایجاد تمرکز تنفس، ترک و گسترش ترک در نانوکامپوزیت می شود. این پدیده در نهایت منجر به کاهش چقرمگی شکست نانوکامپوزیت شده است [۲۲].

۴- نتیجه گیری

در تحقیق حاضر، اثر هم افزایی همزمان دو نانو ذره اکسید گرافن کاهش یافته و نanolوله کربنی چندجداره بر خواص مکانیکی اپوکسی بررسی شد. نتایج مربوط به این تحقیق را می توان در موارد زیر خلاصه کرد:

۱. برای نانوکامپوزیت اپوکسی /nanolوله کربنی چندجداره بیشترین میزان بهبود مدول یانگ، تنش نهایی و تنش تسلیم مربوط به ۰/۰۴ درصد وزنی نanolوله کربنی چندجداره بوده و به ترتیب حدود ۱۲/۴۷، ۷/۲۱، ۳۵/۷ و ۱۲/۴۷ درصد است.

۲. برای نانوکامپوزیت اپوکسی /nanوکسید گرافن کاهش یافته بیشترین میزان بهبود مدول یانگ، تنش نهایی و تنش تسلیم مربوط به ۰/۶ درصد وزنی اکسید گرافن کاهش یافته است و به ترتیب حدود ۱۴/۱۳، ۱/۱۸، ۳۷/۶ و ۱/۱۸ درصد است.

۳. افزودن ۰/۰۴ درصد وزنی نanolوله کربنی به نانوکامپوزیت اپوکسی /nanوکسید گرافن کاهش یافته باعث کاهش مدول یانگ، تنش نهایی و تنش تسلیم و افزایش چقرمگی شکست و کرنش شکست می شود.

۴. بهترین نسبت اختلاط برای ترکیب دو نانو ذره و بیشترین اثر هم افزایی نسبت ۱ به ۱۰ (۱ قسمت نanolوله کربنی چندجداره به ۱۰ قسمت نانوکسید گرافن کاهش یافته) است. همچنین بهترین نسبت اختلاط برای افزایش چقرمگی و کرنش شکست نسبت ۱ به ۱۵ است.

۵. بیشترین میزان بهبود مدول یانگ، تنش نهایی و تنش تسلیم برای اثر هم افزایی مربوط به ترکیب ۰/۰۶ درصد وزنی نanolوله کربنی چندجداره و ۰/۰۶ درصد نانوکسید گرافن کاهش یافته با ۸۸/۲۵، ۴۲/۲ و ۱۸/۹۷ درصد است که بیشترین میزان افزایش بین همه حالت های مورد بررسی است.

- Effect of Multi-Walled Carbon Nanotubes and Graphene Nanoplatelets on the Monotonic and Fatigue Properties of Uncracked and Cracked Epoxy Composites, *Polymer*, 12(9) (2020) 1895.
- [15] A. Bisht, K. Dasgupta, D. Lahiri, Evaluating the effect of addition of nanodiamond on the synergistic effect of graphene-carbon nanotube hybrid on the mechanical properties of epoxy based composites, *Polymer Testing*, 81 (2020) 106274.
- [16] Y. Li, X. Huang, L. Zeng, R. Li, H. Tian, X. Fu, Y. Wang, W.-H. Zhong, A review of the electrical and mechanical properties of carbon nanofiller-reinforced polymer composites, *Journal of Materials Science*, 54(2) (2019) 1036-1076.
- [17] M.M. Shokrieh, A. Zeinedini, S.M. Ghoreishi, Effects of adding multiwall carbon nanotubes on mechanical properties of Epoxy resin and Glass/Epoxy laminated composites, *Modares Mechanical Engineering*, 15(9) (2015) 125-133. (in Persian)
- [18] Standard Test Method for Tensile Properties of Plastics, Annual Book of ASTM Standard, 08.01, D638-14, 2010.
- [19] J. Ervina, M. Mariatti, S. Hamdan, Mechanical, electrical and thermal properties of multi-walled carbon nanotubes/epoxy composites: effect of post-processing techniques and filler loading, *Polymer Bulletin*, 74(7) (2017) 2513-2533.
- [20] R. Ghajar, M.M. Shokrieh, A.R. Shajari, An experimental investigation on the viscoelastic properties of CNT reinforced CY 219 epoxy resin, using DMTA and creep tests, *Materials Research Express*, 5(8) (2018) 085033.
- [21] R. Aradhana, S. Mohanty, S.K. Nayak, Comparison of mechanical, electrical and thermal properties in graphene oxide and reduced graphene oxide filled epoxy nanocomposite adhesives, *Polymer*, 141 (2018) 109-123.
- [22] H. Khosravi, R. Eslami-Farsani, H. Ebrahimnezhad-Khaljiri, An experimental study on mechanical properties of epoxy/basalt/carbon nanotube composites under tensile and flexural loadings, *J. Sci. Tehnol. Compos.*, 3 (2016) 187-194. (in Persian)
- epoxy composites, *Carbon*, 59 (2013) 406-417.
- [6] L.-C. Tang, Y.-J. Wan, D. Yan, Y.-B. Pei, L. Zhao, Y.-B. Li, L.-B. Wu, J.-X. Jiang, G.-Q. Lai, The effect of graphene dispersion on the mechanical properties of graphene/epoxy composites, *Carbon*, 60 (2013) 16-27.
- [7] Y. Li, R. Umer, A. Isakovic, Y.A. Samad, L. Zheng, K. Liao, Synergistic toughening of epoxy with carbon nanotubes and graphene oxide for improved long-term performance, *RSC advances*, 3(23) (2013) 8849-8856.
- [8] P.-N. Wang, T.-H. Hsieh, C.-L. Chiang, M.-Y. Shen, Synergetic effects of mechanical properties on graphene nanoplatelet and multiwalled carbon nanotube hybrids reinforced epoxy/carbon fiber composites, *Journal of Nanomaterials*, 2015 (2015).
- [9] W. Li, A. Dichiara, J. Bai, Carbon nanotube-graphene nanoplatelet hybrids as high-performance multifunctional reinforcements in epoxy composites, *Composites Science and Technology*, 74 (2013) 221-227.
- [10] L. Yue, G. Pircheraghi, S.A. Monemian, I. Manasz-Zloczower, Epoxy composites with carbon nanotubes and graphene nanoplatelets—Dispersion and synergy effects, *Carbon*, 78 (2014) 268-278.
- [11] S.-Y. Yang, W.-N. Lin, Y.-L. Huang, H.-W. Tien, J.-Y. Wang, C.-C.M. Ma, S.-M. Li, Y.-S. Wang, Synergetic effects of graphene platelets and carbon nanotubes on the mechanical and thermal properties of epoxy composites, *Carbon*, 49(3) (2011) 793-803.
- [12] D. Ponnamma, K.K. Sadasivuni, M. Strankowski, Q. Guo, S. Thomas, Synergistic effect of multi walled carbon nanotubes and reduced graphene oxides in natural rubber for sensing application, *Soft Matter*, 9(43) (2013) 10343-10353.
- [13] E. Wang, Y. Dong, M.Z. Islam, L. Yu, F. Liu, S. Chen, X. Qi, Y. Zhu, Y. Fu, Z. Xu, Effect of graphene oxide-carbon nanotube hybrid filler on the mechanical property and thermal response speed of shape memory epoxy composites, *Composites Science and Technology*, 169 (2019) 209-216.
- [14] Y.-M. Jen, J.-C. Huang, K.-Y. Zheng, Synergistic

چگونه به این مقاله ارجاع دهیم

M. A. Bahrami, M. Heshmati, S. Feli, *A study on the synergistic influence of reduced graphene oxide and MWCNTs on the mechanical properties of epoxy nanocomposite*, Amirkabir J. Mech Eng., 53(Special Issue 6)(2021) 3971-3986.

DOI: [10.22060/mej.2020.18781.6888](https://doi.org/10.22060/mej.2020.18781.6888)



